

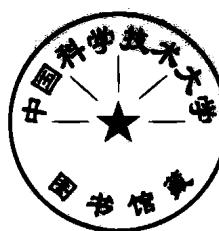
# 火力发电厂 采暖与通风

西安电力設計院采暖通风組編著



# 火力发电厂 采暖与通风

西安电力設計院采暖通风組編著



水利电力出版社

## 內容提要

火力发电厂的采暖与通风，是保障工作人员健康和维护设备正常运行的一项重要技术措施。本书详细地叙述了一般火力发电厂主厂房、辅助生产车间、露天与半露天主厂房的采暖通风技术，并专门介绍了空气调节的方法、厂区热力网及厂区供热系统的主要构件。书中紧密地结合火力发电厂的特点、我国气候条件，提出了一系列采暖通风的计算理论、方法和公式，以便于读者参考。

本书供火力发电厂及变电所采暖通风的设计、施工、运行人员阅读，也可作为高、中等学校采暖通风专业师生的参考读物。

## 火力发电厂采暖与通风

西安电力设计院采暖通风组编著

\*

2239 R 490

水利电力出版社出版（北京西郊科学路二里沟）

北京市书刊出版业营业登记证字第105号

水利电力出版社印刷厂排印

新华书店科技发行所发行 各地新华书店经售

\*

850×1168开本 \* 10号印张 \* 261千字 \* 定价(第9类)1.40元

1959年9月北京第1版

1959年9月北京第1次印刷(0001—2,430册)

## 序　　言

火力发电厂进行采暖通风，一方面是改善工作环境，保障工作人員的健康，最后达到提高劳动生产率的目的；另一方面是維持适当的室內温度和湿度，使設備能够在正常出力下安全运行，有效地延长其使用年限。

火力发电厂的鍋炉房和汽輪机室，經常积有大量余热和湿汽，每当夏令炎热季节，室內温度高，湿汽重；其余車間，如除灰室，每当冬季，不断有冷风侵入，蓄電池室，在充电时，室內往往散布着有害气体。所有这些，都将影响工作人員的身体健康。因此，从維护工作人員的健康方面着想，火力发电厂必須进行采暖通风。

电气設備的运行和周圍空气的温度，是密切相关的。温度高的空气，不是直接影响設備的出力和效率，便是使絕緣材料加速变質，从而縮短設備的使用年限。其次，在寒冷季节，某些地区由于对采暖考虑不周，有时发生設備冻坏事故。所以，从設備保护方面着想，火力发电厂也必須进行采暖通风。

我国幅員广大，气候的寒热燥湿，各地有显著的不同。針對我国各地气候条件，合理地解决采暖通风問題，是有一定的經濟意义的。

采暖通风是建筑在公共衛生学、工程热力学、空气动力学和自动控制学等基础上的一門綜合性技术科学。解放后，我国在进行着大規模的电力工业建設，在党的关怀与领导下，这門专业，才在近几年来获得了迅速的发展。

但是由于采暖通风这門专业，过去沒有基础，所以有关技术資料极其缺乏，这就給从事这方面設計工作的人員，带来了很大的困难。为了尝试着解决这个問題，我們才广泛地搜集了有关这

方面的資料，並結合我國具體情況，根據去年在國內各地對采暖  
通風進行調查研究的結果，以及近幾年來在設計當中的一些經驗  
體會，編寫了這本書。

火力發電廠的采暖通風，有它自己的特點：一方面采暖通風  
固然是不可缺少的一項設施；而另一方面，又因電廠車間容積  
大，值班人員少，采暖通風的設計，在安全和經濟兼顧的條件  
下，使理論和實際密切結合起來，是有着廣闊的研究前途的。這  
本書的寫出，顯然是抱有這樣一個願望的。

本書是由我組梁光華、鄭興源、于瑞、汪賢伸、崔永江等同  
志編寫的。當然，能夠完成這個工作，和我院黨委與行政領導的  
重視與支持，以及黨委于戰兵、科研所肖賦誠、專業室胡進丰、  
嚴福祥和許錦濤諸同志在編寫過程中給予我們的指導，是分不開的。  
由於我們水平所限，經驗不足，錯誤恐仍難免，希讀者予以  
批評指正。

西安電力設計院采暖通風組

1959年7月

## 目 录

<b>第一章 火力发电厂主厂房的采暖通风 .....</b>	<b>5</b>
第一节 主厂房的布置形式及其对采暖通风的一般要求 .....	5
第二节 围护结构的热工标准 .....	10
第三节 汽轮机、锅炉和附属设备的散热 .....	25
第四节 主厂房的自然通风 .....	40
第五节 主厂房的机械通风 .....	68
第六节 电动机与发电机通风 .....	115
第七节 厂用变压器室通风 .....	126
第八节 厂用配电装置室的通风 .....	132
第九节 主厂房的采暖方式 .....	133
<b>第二章 火力发电厂附属建筑及辅助建筑的采暖通风 .....</b>	<b>141</b>
第一节 主控制楼 .....	141
第二节 配电装置 .....	166
第三节 电缆隧道 .....	171
第四节 化学水处理室 .....	191
第五节 中心修配厂 .....	192
第六节 江岸水泵房 .....	205
第七节 油处理室 .....	208
第八节 重油泵房 .....	210
第九节 灰浆泵房 .....	213
第十节 沉灰室 .....	218
<b>第三章 露天与半露天主厂房的采暖通风 .....</b>	<b>221</b>
第一节 露天与半露天主厂房 .....	221
第二节 汽轮机防护罩内的采暖通风 .....	225
<b>第四章 空气调节 .....</b>	<b>239</b>
第一节 集中控制盘室对空气调节的要求 .....	239

第二节 空气調節系統的自動控制元件	240
第三节 空气調節气候条件的确定	254
第四节 空气調節設備的配置及全面調節系統	256
第五节 自动控制系統的安装、使用和管理	260
<b>第五章 厂区热力网及蒸汽采暖系統的主要构件</b>	<b>263</b>
第一节 热源	263
第二节 供热負荷的确定	265
第三节 厂区供热的調節	268
第四节 加热器	277
第五节 热力网的敷設	283
第六节 热力网及蒸汽采暖系統中的主要构件	286
<b>附录 1 全国主要城市采暖通风气象資料</b>	<b>300</b>
<b>附录 2 火力发电厂各車間圍护結構(无閣樓屋面)</b>	
保温层选择表	308
<b>附录 3 气压为 760 毫米水銀柱时空气与蒸汽     混合物的物理特性</b>	<b>315</b>
<b>附录 4 电动机的特性</b>	<b>319</b>
<b>附录 5 变压器功率損耗</b>	<b>324</b>
<b>附录 6 建筑材料、制成品与結構构件的計算物理     指标系数</b>	<b>326</b>
<b>附录 7 蓄电池最大充电电流</b>	<b>333</b>
<b>附录 8 电抗器功率損耗</b>	<b>334</b>
<b>附录 9 每米电纜的热損失功率</b>	<b>339</b>
<b>附录 10 全国部分城市最热月地下平均温度</b>	<b>342</b>
<b>附录 11 全国部分城市最热月的平均最高温度和平均温度</b>	<b>343</b>

# 第一章 火力发电厂主厂房的采暖通风

## 第一节 主厂房的布置形式及其对采暖通风的一般要求

主厂房是火力发电厂的中央部分。它是由锅炉房、煤仓间、汽輪机室和除氧器間等組成的。鍋炉、汽輪机、除氧器以及所有蒸汽管道，在运行时散发出大量热量，使厂房內气候条件恶化。为了改善劳动条件，維护設備正常运行，必須采用自然通风或机械通风。

采暖通风与厂房建筑的形式以及各主要設備的布置，有很大关系。火力发电厂主厂房的布置基本上有两类：

(1)外煤仓布置 外煤仓布置如图 1-1 所示。其特点是鍋炉前部朝向外墙，室外空气从窗口进入，直接經過值班人員工作場

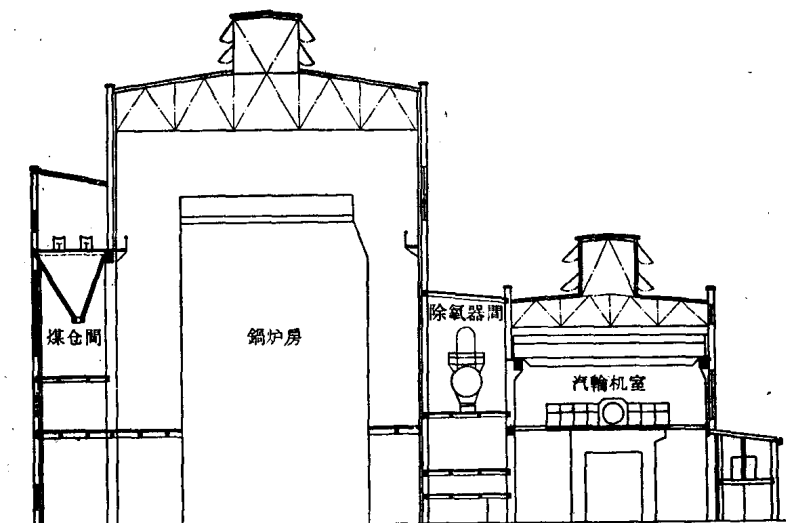


图 1-1 火力发电厂主厂房布置型式(一)

所①。因为工作場所距外墙近，可以直接利用外墙的腰窗調節进风量，所以鍋炉房运转层工作場所，就不一定再另裝局部通风設備。因此，外煤仓布置对鍋炉房运转层通风來說，是有很大好处的。

(2)內煤仓布置 內煤仓布置是将煤仓間布置在汽輪机室与鍋炉房的中間，如图 1-2 甲所示。由于鍋炉前部朝向里面，鍋炉值班人員受热气流的包围，室外空气不能直接流向工作場所，因而在鍋炉房运转层工作場所必須另設局部通风設備。

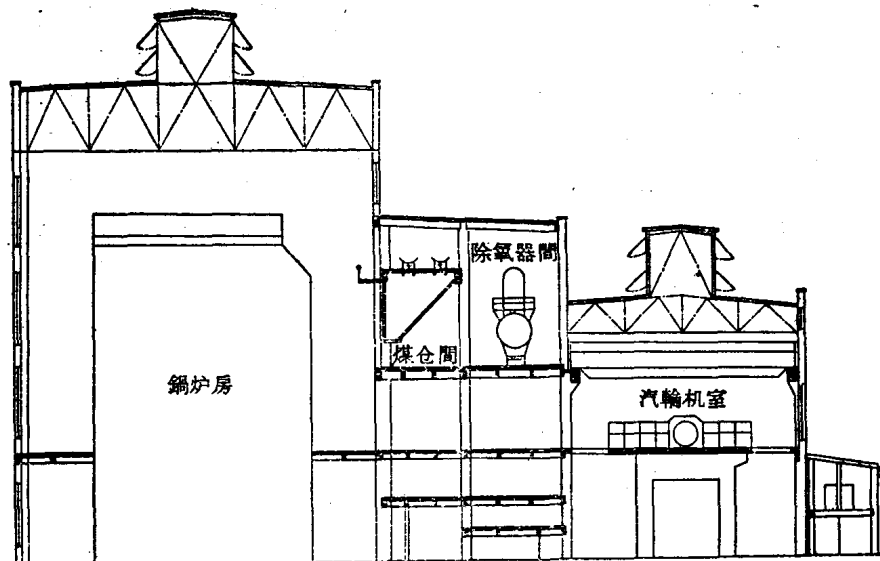


图 1-2 甲 火力发电厂主厂房布置型式(二)

另外，还有一种煤仓間和除氧器間合并布置的方案，是把除氧器間与煤仓間布置在一起。如图 1-2 乙所示。这种方式，鍋炉前部也是朝向里面，因此，通风要求也是和內煤仓布置一样的。

---

① 工作場所或称工作地区、工作地带，本书以下都称工作場所。

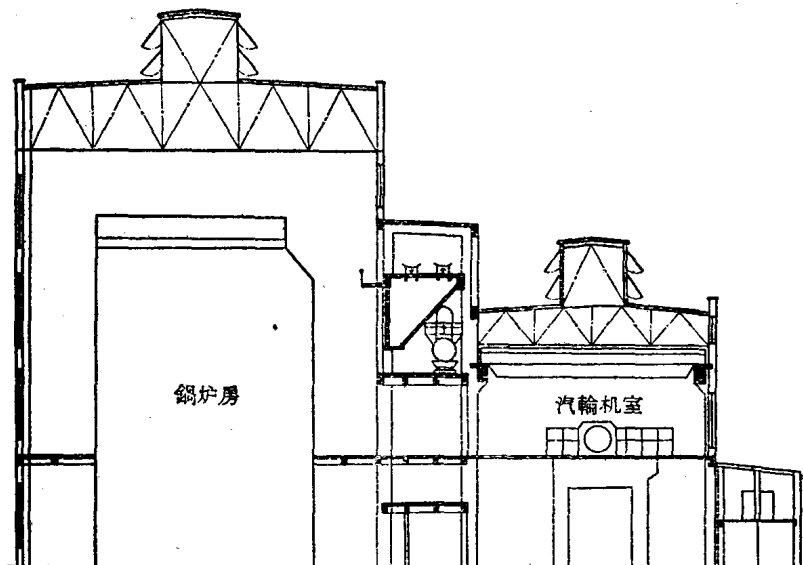


图 1-2乙 火力发电厂主厂房布置型式(三)

小容量发电厂的主厂房布置，在很多方面与大容量发电厂的布置相似，只是一些附属设备的安装有所不同。小容量发电厂，有些附属设备集中安装在主厂房的某一个平面上，因此，其主厂房布置比較簡單，一般只考虑自然通风，仅在个别设备如仪表盘、水泵、除氧器等附近装置电风扇。在某些地区，由于地形的关系，为了减小水泵水头差，将汽輪机室的凝汽器間建造在地面以下，使凝汽器間形成密閉房間。这种布置方式，給通风带来很多不利条件，这就必須对凝汽器間采取机械通风措施。

如果汽輪机室是露天布置，可采用图 1-3 所示的通风方式，利用安装在靠鍋炉房側的汽輪机室墙上的通风机进行抽风，在凝汽器間內造成負压，結果使外界空气从凝汽器間外側墙上的百叶窗进入凝汽器間。凝汽器間換风量，与室内管道等的散热量及厂房建筑地区的相对湿度有很大关系。因为凝汽器間沒有精密仪表及其它怕受温度和湿度影响的设备，通风的目的主要是改善室内气候条件。夏季的通风机的选择，可按照房間容积以每小时 5 次

換氣量來確定。在冬季及過渡季節，如果自然通風能夠滿足要求時，可利用自然通風。

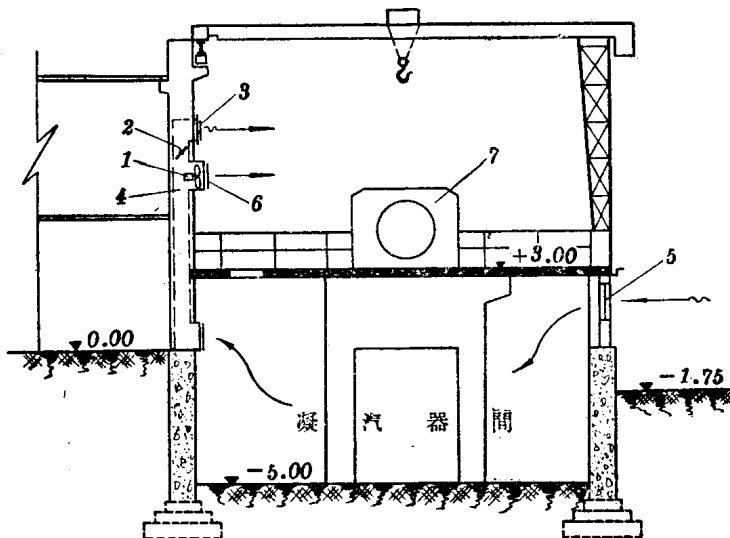


图 1-3 露天汽輪机室密閉凝汽器間通風方式

1—通风机；2—豎风道內閥門；3—擋風板；4—豎风道；5—进风窗；6—活  
动百叶格栅；7—汽輪机。

图 1-3 所示的通风系統，是机械通风与自然通风合并布置以便輪換使用的，因此在管理上及建筑投資上都是合理的。但在运行时只能使用一个系統。在夏季使用机械通风系統时，一定要把自然通风系統上的擋風板 3 或豎风道內的閥門 2 關閉。

如果汽輪机室是封閉式建筑，显然不能向汽輪机室内排风，上述通风方法就應該改变，这时可利用在主厂房专設置的通风室內的通风机进行抽风，或者将通风机布置在除氧器間的某一段，而向凝汽器間进风仍采用上述露天式布置方案。

当电厂考虑扩建时，通风室都應該布置在厂房的固定端，以免在扩建时增加麻烦。

較大容量的发电厂除利用側窗、天窗自然通风外，在汽輪机室及內煤仓布置的鍋炉房一般都装有机械通风設備，保証工作場

所有良好的气候条件。外煤仓布置方式的锅炉房，在需要加强通风时，也可以设置机械通风。

苏联的许多设计中，除氧器间与汽轮机室，系用玻璃栅隔开，这时除氧器间内温度高达40°C以上，因此在局部场所应该进行冷却通风。除氧器间的通风可以作成单独的系统，或者与其他通风系统并在一起。在这里，采用麻绳降温加湿通风室，作为局部场所的降温设施是很合适的。关于麻绳降温加湿通风室，本章第五节内将详细介绍。

我国目前设计中，除氧器间和汽轮机室相通，但由于除氧器间是在锅炉房与汽轮机室之间，气候条件恶劣，所以在设计时仍应考虑局部场所的通风。

厂房布置方式不同，主要对通风影响较大；对于采暖来说，并没有什么很大的影响。

输煤皮带层在采暖区要采暖，保持该层内部温度为+12°C左右，避免煤发生冻结。同时，该层煤灰飞扬，为了保持内部有较好的空气条件，除采用自然通风外，还应该装置机械通风系统。

“火力发电厂设计技术暂行规程”规定，除灰室里要有备用采暖，对于室外温度在-25°C以及-25°C以下的地区，应进行这项设计，使锅炉停止运行时能维持室内温度为+5°C。由于除灰室里，门窗数量很多，且经常敞开，散热量很大，这样，室内（特别是水力除灰时）温度很低，因而在所有室外温度能低到-8°C的地区，即应根据设备的布置情况考虑局部采暖，使设备不致冻坏。

主厂房内除锅炉房、汽轮机室等外，还有主控制室和主配电盘装置室等。

小容量发电厂的主控制室和主配电盘装置室设在汽轮机室的旁边；中容量发电厂的主控制室和主配电盘装置室，根据不同情况，设置在汽轮机室旁边或另行建筑；大容量发电厂的主控制室和主配电盘装置室为单独建筑，设有天桥与汽轮机室相通。此外，主厂房内还设有厂用变压器室、厂用配电装置室和电抗器室等。所有以上主厂房内各部分的采暖和通风，将在以下各章内分

別叙述。

## 第二节 圍护结构的热工标准

对于建筑物的圍护結構，除了滿足一般的技术、經濟要求外，还必須考慮圍护結構的热工特性，即圍护結構的导热性、热稳定性与空气与蒸汽的渗透性。

不同地区、不同季节和不同房間，圍护結構的热工要求均不相同。概括地講，所謂滿足热工要求，就是使圍护结构在保温、隔热方面有显著的效果和經濟意义。

### 一、导 热 性

圍护結構的导热性与室內外的空气状态和結構本身的物理性能有关。研究导热性，实质上就是研究圍护結構各部分的温度和湿度的变化規律，并由此确定其热阻、热惰性和潮湿状态。

#### 1. 圍护結構的热阻

經過圍护結構傳热的一般表达式为：

$$Q = F \cdot K(t_o - t_n) \text{ 千卡/时}, \quad (1-1)$$

式中  $Q$ ——圍护結構每小时傳热量，千卡/时；

$K$ ——圍护結構的傳热系数，千卡/米<sup>2</sup>·时·°C；

$F$ ——圍护結構的表面积，米<sup>2</sup>；

$t_o$ ——室内空气温度，°C；

$t_n$ ——室外空气温度，°C。

热阻：

$$R = \frac{1}{K} = \frac{1}{\alpha_o} + \frac{1}{\alpha_n} + \sum \frac{\delta}{\lambda} \text{ 米}^2 \cdot \text{时} \cdot \text{°C} / \text{千卡},$$

式中  $\alpha_o$ ——圍护結構内表面的吸热系数，千卡/米<sup>2</sup>·时·°C；

$\alpha_n$ ——圍护結構外表面的散热系数，千卡/米<sup>2</sup>·时·°C；

$\lambda$ ——材料的导热系数，千卡/米·时·°C；

$\delta$ ——材料的厚度，米。

关于圍护結構内表面吸热系数、外表面散热系数和热阻值，

參見表1-1和表1-2。材料導熱系數見附錄6。傳熱和熱阻的計算，除作為採暖系統總熱負荷計算的原始數據外，最主要的是用來確定圍護結構的熱工性能。

表 1-1 圍護結構內表面的吸熱系數  $\alpha_o$  和熱阻  $R_o$  值

序號	表 面 的 种 类	$\alpha_o$ (千卡/米 <sup>2</sup> ·時·°C)	$R_o$ (米 <sup>2</sup> ·時·°C/千卡)
1	具有平滑表面的牆、地板和天花板的內表面	7.5	0.133
2	具有井型、双肋形表面的天花板的內表面	6.0	0.167

表 1-2 圍護結構外表面的散熱系數  $\alpha_h$  和熱阻  $R_h$  值

序號	外 表 面 的 种 类	$\alpha_h$ (千卡/米 <sup>2</sup> ·時·°C)	$R_h$ (米 <sup>2</sup> ·時·°C/千卡)
1	直接與空氣接觸的表面——外牆、平屋頂等	20	0.05
2	在閣頂上或冷藏室的表面——閣頂樓板、冷藏窖及地下室上的樓板等	10	0.10

圍護結構必須有一定的厚度。這不僅是為了在寒冷季節減少建築物的熱損失，並從而降低採暖燃料的消耗；同時，現代房屋的衛生標準也不允許把圍護結構建造得過于單薄。因為圍護結構有很大的導熱性時，在寒冷季節必然降低其內表面的溫度，從而增加其內表面與室內空氣的溫度差，這樣將會使室內的居住者受到圍護結構表面冷氣流的侵襲。而且從一定的溫度差開始，空氣中的水蒸氣也將被冷凝。附着在圍護結構表面上的冷凝水，除了直接有礙衛生外，還會增加圍護結構的導熱性，甚至造成凍結。

大家都知道，在一定相對濕度下，降低空氣溫度，能夠使空氣里原來所含的未飽和汽變成飽和汽。這個使空氣里原來所含的未飽和汽變成飽和時的溫度就是空氣的“露點”。露點溫度是確定圍護結構熱工質量的一個標準值：當圍護結構內表面的溫度低子

室內空气的露点温度时，結構內表面才会有凝結水出現。

若令圍护結構內表面溫度為  $\tau_s$ ；室內空氣溫度為  $t_s$ ；室外空氣溫度為  $t_u$ ；根據基本傳熱方程式，我們可以建立下列熱平衡方程式：

$$K(t_s - t_u) = \alpha_s(t_s - \tau_s),$$

并由此得：

$$K = \frac{t_s - \tau_s}{t_s - t_u} \text{千卡}/\text{米}^2 \cdot \text{時} \cdot {}^\circ\text{C}, \quad (1-2)$$

式中  $K$ ——圍護結構的傳熱系數，千卡/ $\text{米}^2 \cdot \text{時} \cdot {}^\circ\text{C}$ ；

$\alpha_s$ ——圍護結構內表面的吸熱系數，千卡/ $\text{米}^2 \cdot \text{時} \cdot {}^\circ\text{C}$ 。

當  $\tau_s$  等於室內空氣的露點溫度  $\tau_p$  時，可以得到  $K$  的最大值  $K_{max}$ （因為不允許  $\tau_s < \tau_p$ ）：

$$K_{max} = \frac{t_s - \tau_p}{t_s - t_u} \text{千卡}/\text{米}^2 \cdot \text{時} \cdot {}^\circ\text{C}, \quad (1-3)$$

當  $K = K_{max}$  時，圍護結構的內表面，已經發生了出現凝結水的危險。因此，為了免除凝結水，就必須使

$$K < K_{max}.$$

很明顯，在滿足  $K = K_{max}$  的條件下，按下式可確定某導熱系數為  $\lambda$  的隔熱層的厚度  $\delta_z$ ：

$$\delta_z = \frac{\lambda(t_s - t_u)}{\alpha_s(t_s - \tau_p)} = \frac{\lambda}{K} \text{米}, \quad (1-4)$$

某些生產車間，當設備運行時，產生大量濕氣，室內空氣相對濕度經常接近100%，在這種情況下，很難避免在圍護結構內表面出現凝結水。可以首先認為，圍護結構的表面是不允許破壞的；這樣，圍護結構的最大傳熱系數，就應以內表面凝結水開始冰凍時 ( $\tau_s = 0$ ) 為最高；同時，該傳熱系數的極限值為：

$$K_{sum} = \frac{t_s}{t_s - t_u} \text{千卡}/\text{米}^2 \cdot \text{時} \cdot {}^\circ\text{C}. \quad (1-3')$$

圍護結構的最大傳熱系數通常可按下式計算：

$$K_{max} = \frac{\alpha_s \cdot \Delta t_u}{(t_s - t_u) mn} \text{千卡}/\text{米}^2 \cdot \text{時} \cdot {}^\circ\text{C}, \quad (1-5)$$

或写成：

$$R_0^{TP} = \frac{1}{K_{max}} = \frac{(t_a - t_n)m n}{\alpha_a \Delta t_n} \text{米}^2 \cdot \text{时} \cdot ^\circ\text{C}/\text{千卡}, \quad (1-5')$$

式中  $R_0^{TP}$ ——围护结构所必需的最小热阻，米<sup>2</sup>·时·°C/千卡；

$\Delta t_n$ ——室内空气温度与围护结构内表面规定的温度差，°C；此温度差因室内气候条件和围护结构的种类而不同（见表1-3）；

$m$ ——与围护结构密实程度有关的系数，围护结构的密实程度决定于其热惰性系数  $D$ ，即：轻结构  $D=0 \sim 4.0$ ,  $m=1.15$ ，中等密实的结构  $D=4.1 \sim 7.0$ ,  $m=1.10$ ，密实结构  $D>7.0$ ,  $m=1.0$ ；

$n$ ——与围护结构位置和表面状况有关的系数（见表1-4）。

表 1-3 要求的温度差  $\Delta t_n$ (°C) 的数值

序号	房屋和房间的种类	外墙	无檐顶的屋頂 和檐頂樓板
1	居住房间，以及卫生方面要求较高的公共房屋和房间（医院、幼儿园、托儿所等）	6	5.5
2	具有正常温度-湿度状况的公共房屋和房间（戏院、电影院、学校、俱乐部、车站以及除潮湿房间外的工业企业辅助房屋和房间）	7	5.5
3	内面空气的计算湿度为50~60%的采暖生产房屋和房间	8	7
4	内面空气的计算湿度，不超过49%的采暖生产房屋和房间	9	8
5	具有多余热量散出的和内面空气的计算湿度不大于45%的生产房屋和房间	12	12
6	内面的空气计算湿度为61~75%的生产房屋和房间	$t_a - \tau_p$	$t_a - \tau_p$
7	内面的空气计算湿度大于75%的生产房屋和房间，在房间内允许湿气在内墙表面上凝结	7	$t_a - \tau_p$

注：如果生产房间的围护结构使房间内散出的热量超过设备热量损失，同时外墙表面和房顶经常承受着强烈辐射热和干热空气的影响，则  $\Delta t_n$  的数值不作规定，围护结构的防热性能，可按照构造的形式确定。

表 1-4 系数  $n$  的数值

序号	围护结构的种类	系数 $n$
1	外墙、无闷顶的屋頂和通道上的楼板	1.0
2	闷顶的楼板和有通风洞的无闷顶屋頂	0.9
3	冷藏窖上的楼板	0.75
4	不采暖的地下室上的楼板	0.6

一般工业厂房围护结构的最大传热系数  $K_{maxc}$  按图 1-4 曲线计算，居住或公共房间按图 1-5 计算。

如某电厂主厂房，冬季室外采暖计算温度为  $-20^{\circ}\text{C}$ ，室内相对湿度为 60%，温度为  $+20^{\circ}\text{C}$ ，其外围结构最大传热系数  $K_{maxc}$

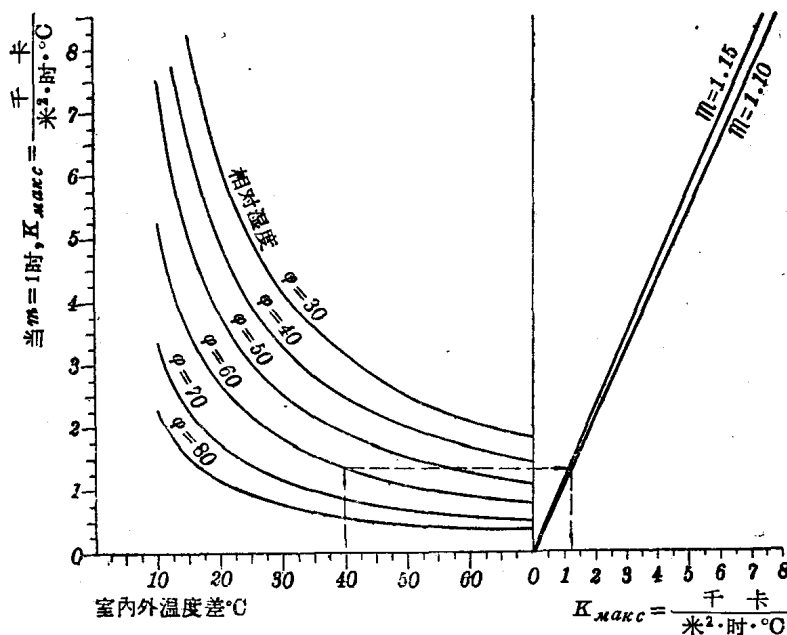


图 1-4 工业厂房(火力发电厂主厂房)

外围结构物最大  $K$  值计算曲线图